

19

# ИНСТИТУТ ЯДЕРНОЙ ФИЗИКИ СОАН СССР

ПРЕПРИНТ ИЯФ 56 - 73

Г.И.Димов, Г.В.Росляков

## ИНЖЕКТОР ОТРИЦАТЕЛЬНЫХ ИОНОВ ВОДОРОДА С ТОКОМ 20 ма

Новосибирск

1973

ИНЖЕКТОР ОТРИЦАТЕЛЬНЫХ ИОНОВ ВОДОРОДА  
С ТОКОМ 20 ма

Г.И.Димов, Г.В.Росляков

А Н Н О Т А Ц И Я

Сообщается о получении из ускорителя Ван-де-Граафа импульсного пучка отрицательных ионов водорода длительностью 200 мксек с током 20 ма с энергией 1 Мэв. Описываются особенности перезарядного источника ионов  $H^-$ , установленного в высоковольтном электроде ускорителя.

Для увеличения тока протонов, инжектируемых перезарядным методом в накопительное кольцо /1/, на электростатическом ускорителе ЭГ-1,5 , с импульсной стабилизацией энергии /2/ был установлен перезарядный источник отрицательных ионов. На выходе ускорителя был получен пучок ионов  $H^-$  с током 20 ма длительностью 200 мксек с энергией 1 Мэв. После прохождения магнитного анализатора ток ионов  $H^-$  18ма. Пучок используется для получения компенсированного замкнутого пучка протонов.

На рис.1 показан общий вид источника. Источник размещается в камере 1, гальванически связанной с кондуктором. Импульсный дуговой источник плазмы 2, имеющий потенциал камеры, отделен от основного объема камеры перегородкой 3 для уменьшения импульсной загрузки водородом ионного тракта и ускорительной трубы. Расход водорода в источнике плазмы  $3 \cdot 10^{17}$  молекул за импульс. Буферный объем с источником плазмы через специальную трубку откачивается после каждого импульса за время 0,1 сек. С помощью двух сеточных электродов 4 из плазмы формируется пучок протонов с овальным сечением 16мм x 18мм и ускоряется до энергии 12 кэв. Протоны поступают в перезарядную трубку 5, в которую напускается дополнительно водород в количестве  $2 \cdot 10^{16}$  молекул за импульс электромагнитным клапаном 6. Пучок из перезарядной трубы сепарируется постоянным магнитом 7, находящимся под одним потенциалом с трубкой. Магнит изготовлен из 2-х плиток 2БА и снабжен магнитным шунтом для регулировки поля.

Железное кольцо 8 экранирует перезарядную трубку от рассеянного поля магнита. Угол поворота ионов  $H^-$  в магните  $27^\circ$ , радиус орбиты 15,2 см. Диафрагма на выходе магнита 9 и козырек 10 являются приемниками нейтральной и положительной компонент пучка , ток которых составляет около 1,5а. В зазоре между диафрагмами 9 и 11 ионы  $H^-$  дополнительно ускоряются до энергии 24 кэв, после чего через охранный цилиндр 12 поступают в ускорительную трубку.

Для уменьшения выбивания электронов ионным пучком на краях диафрагмы основное ограничение пучка осуществляется отверстием на входе в магнит с размерами 2,5см x 3,6см, откуда вторичные электроны не могут попасть в ускорительную трубку; отверстия диафрагм 10,11 и 13 последовательно увеличиваются:

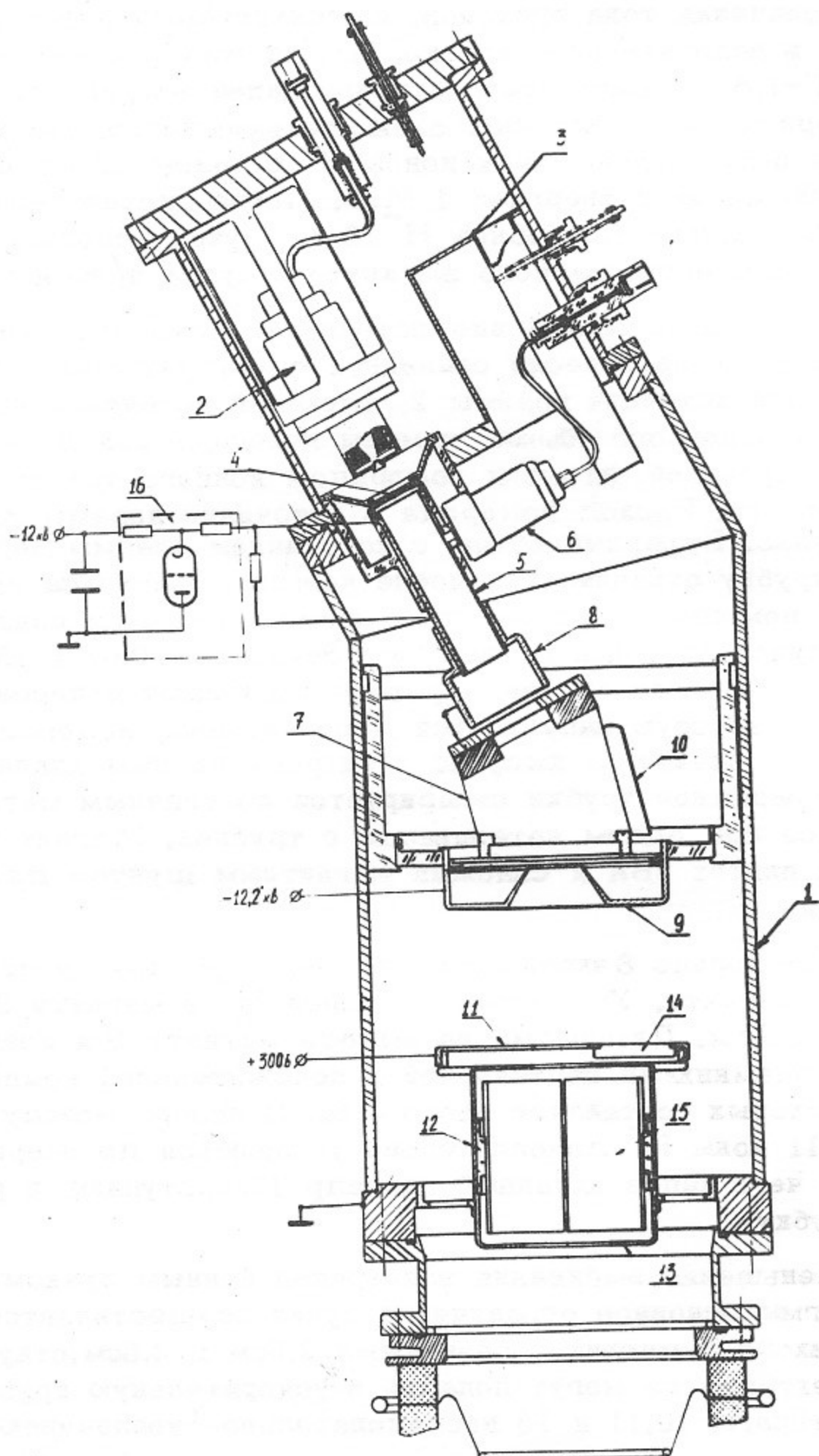


Рис.1.

круг диаметром 3,8см, круг диаметром 4 см и эллипс 5см х 6см. Кроме этого для задержки вторичных электронов подается запирающее напряжение на диафрагму 10 минус 200в относительно магнита и на диафрагму 11 плюс 300в относительно охранного цилиндра. Часть ионов Н<sup>+</sup> при повороте в магните теряет электроны из-за столкновений с молекулами газа, образующиеся при этом быстрые атомы попадают на диафрагму 11. Для ослабления вызываемой ими вторичной ионной эмиссии в соответствующем месте диафрагмы 11 сделано отверстие с жалюзями 14, через которое атомы проходят на торец охранного цилиндра. В охранном цилиндре расположена электростатическая система отклоняющих пластин 15, которая позволяет корректировать углы входа пучка в ускорительную трубку.

Использование сеточной системы формирования пучка приводит к асимметрии углового разброса ионов. Основной разброс наблюдается в направлении, перпендикулярном нитям сеток. Апертура сепарирующего магнита источника и анализирующего магнита на выходе ускорителя минимальна вдоль магнитного поля. Для улучшения прохождения пучком магнитов нити сеток в источнике направлены параллельно магнитному полю сепарирующего магнита, а сепарирующий магнит установлен в плоскости анализирующего магнита.

Значительная удаленность элементов источника от ускорительной трубы, а также хорошая экранировка её электрического поля охранным цилиндром, гальванически связанным с кондуктором, исключают пробои на элементы источника и перенапряжения в его схеме питания при разрядах в ускорительной трубке. Выполнение вытягивающей сетки в форме жалюзей (толщина 0,5мм, шаг 0,28мм, геометрическая прозрачность 80%) и применение схемы защиты вытягивающего промежутка от пробоев (16 на рис.1) обеспечили достаточно надежную работу источника. Источник потребляет 16дж электроэнергии за импульс, между импульсами энергия расходуется только на накал тиратрона схемы защиты ТГИ1 500/16. Управление источником осуществляется световыми сигналами по схеме /2/.

Использование tandemной схемы ускорения ионов в источнике позволило упростить схему питания источника и облегчило ионно-оптическое согласование его с ускорительной трубкой.

Из-за значительного пространственного заряда пучка мы отка-  
зались от часто применяемой оптической схемы Элкинда с фокуси-  
ровкой пучка перед входом в ускорительную трубку. Фокусировка  
пучка в тракте ионного источника и на входе в трубку снижена  
до минимума, в результате расчетное положение кроссовера пуч-  
ка без учета пространственного заряда находится около выхода  
из ускорительной трубы при энергии 1 Мэв. Наблюдаемое поло-  
жение кроссовера пучка с током 20 ма оказалось в 2-х метрах  
от выходного торца трубы, отличие от расчетного положения  
связано с действием пространственного заряда.

Фазовый объем пучка ионов  $\text{H}^-$  из источника оценивался по  
результатам измерений углового разброса частиц при вытягивании  
протонов из плазмы сеточной системой /3/. На выходе из пере-  
зарядной трубы источника нормализованный эмитанс составляет  
0,02 мрад  $\times$  см вдоль "нитей" сеток и 0,17 мрад  $\times$  см поперек  
"нитей" сеток. Контроль размеров пучка после выхода из уско-  
рителя позволил оценить его фазовый объем после ускорения. Пу-  
чок с током 20ма при энергии 1 Мэв имеет нормализованный  
эмитанс не более 0,1 мрадсм  $\times$  0,26 мрадсм.

Детальная конструкция и режим работы основных узлов по-  
перезарядного источника описаны в /3/. Работа выполнена в Инсти-  
туте ядерной физики СО АН СССР в 1972 году.

В заключение авторы выражают благодарность Белкину В.С.  
за помощь в наладке системы питания источника при запуске ин-  
жектора.

## Л и т е р а т у р а

1. Г.И.Димов, В.Г.Шамовский, В.Е.Чуприянов. "Эксперименты с замкнутым протонным пучком в ионизированном газе". Доклад на Ш Всесоюзном совещании по ускорителям. Москва, октябрь, 1972г.
2. Г.И.Димов, И.Я.Тимошин, В.В.Демидов, В.Г.Дудников. ПТЭ, 4, 30, 1967.
3. Г.И.Димов, Г.В.Росляков. "Исследование импульсного зарядного источника отрицательных ионов водорода". Препринт ИЯФ СО АН СССР, 1973г. (направлено для опубликования в ПТЭ)

Ответственный за выпуск С.Т.Родионов  
Подписано к печати 5.7.73г. № 08366  
Усл. 0,3 печ.л., тираж 200 экз. Бесплатно.  
Заказ № 56. ПРЕПРИНТ

Отпечатано на ротапринте в ИЯФ СО АН СССР, вг.